

3. Forschungsübersicht Speleo Alpin Gesäuse 2013–2020

Tätigkeitsübersicht/Höhlenliste

2013 bis inkl. 2020 wurden im Gesäuse im Rahmen des Projekts *Speleo Alpin* insgesamt 8.745 m neu zur Ganglänge zählende Höhlenstrecken in 202 Höhlen aufgenommen. 140 Höhlen kamen neu in das Höhlenverzeichnis (23 in Teilgruppe 1643, 18 in 1644, 3 in 1711, 34 in 1712, 46 in 1713, 16 in 1714). Mit Stand Ende 2020 sind in den hier bearbeiteten Teilgruppen folgende Höhlenzahlen (im Sinne der zuletzt vergebenen

Höhlennummer) im Kataster registriert: 1643: 48, 1644: 26, 1711: 67, 1712: 289, 1713: 111, 1714: 40. Einige Höhlen mit eigener Katasternummer wurden später zusammengeschlossen oder einer anderen Teilgruppe zugeordnet, sodass die tatsächliche Anzahl teilweise etwas kleiner ist: 1711: 65, 1712: 285, 1713: 105.

Gebiet / Objekt	Arbeit	neu	GL	H
1643, Buchstein		802		
1643/24 Südwandbandschacht	Abschluss Dokumentation 2014	30	30	-27
1643/26 Gipfelblickschacht	Entdeckung und Dokumentation 2014	43	43	-19
1643/27 Schöner Schacht	Entdeckung und Dokumentation 2014, 2020	124	124	-62
1643/28 Tieflimauer-Südwestwand-Höhle	Abschluss Dokumentation 2017	42	42	±13
1643/29 Tiefli-Westkammturnmhöhle	Entdeckung und Dokumentation 2017	10	10	+5,5
1643/30 Tiefli-Westkammturngang	Entdeckung und Dokumentation 2017	23	23	+6
1643/31 Tiefli-Nordhalbhöhle	Entdeckung und Dokumentation 2017	10	10	+3
1643/32 Mühlkarschacht	Entdeckung und Dokumentation 2018	76	76	-43
1643/33 Schneekreuzhöhle	Entdeckung und Dokumentation 2019	22	22	±22
1643/34 Schluchtspalte	Entdeckung und Dokumentation 2020	6	6	+20
1643/35 Westwandhöhle	Abschluss Dokumentation 2020	97	97	±27
1643/36 Schiecher Schacht	Entdeckung und Dokumentation 2020	55	55	-39
1643/37 Buchsteinplateauschacht 1	Entdeckung und Dokumentation 2020	29	29	-27
1643/38 Buchsteinplateauschacht 2	Entdeckung und Dokumentation 2020	45	45	-15
1643/39 Buchsteinplateauschacht 3	Entdeckung und Dokumentation 2020	17	17	-13
1643/40 Buchsteinplateauschacht 4	Entdeckung und Dokumentation 2020	9	9	-7
1643/41 Buchsteinplateauschacht 5	Entdeckung und Dokumentation 2020	26	26	±11
1643/42 Buchsteinplateauschacht 6	Entdeckung und Dokumentation 2020	17	17	9
1643/43 Buchsteinplateauschacht 7	Entdeckung und Dokumentation 2020	7	7	-6
1643/44 Buchsteinplateauschacht 8	Entdeckung und Dokumentation 2020	23	23	-18
1643/45 Buchsteinplateauschacht 9	Entdeckung und Dokumentation 2020	23	23	-20
1643/46 Buchsteinplateauschacht 10	Entdeckung und Dokumentation 2020	34	34	-29
1643/47 Buchsteinplateauschacht 11	Entdeckung und Dokumentation 2020	10	10	-6
1643/48 Buchsteinplateauschacht 12	Entdeckung und Dokumentation 2020	24	24	-10
1644, Tamischbachturm		155		
1644/8 Gstatterstein-Plateauspalt 1	Entdeckung und Dokumentation 2018	8	8	-5
1644/9 Gstatterstein-Plateauspalt 2	Entdeckung und Dokumentation 2018	5	5	-2
1644/10 Gstatterstein-Plateauspalt 3	Entdeckung und Dokumentation 2018	8	8	-7
1644/11 Gstatterstein-Nordhöhle 1	Entdeckung und Dokumentation 2018	9	9	+5
1644/12 Gstatterstein-Nordhöhle 2	Entdeckung und Dokumentation 2018	7	7	+4
1644/13 Gstatterstein-Nordhöhle 3	Entdeckung und Dokumentation 2018	10	10	±8
1644/14 Gstatterstein-Nordhöhle 4	Entdeckung und Dokumentation 2018	9	9	+4
1644/15 Gstatterstein-Nordhöhle 5	Entdeckung und Dokumentation 2018	10	10	+6
1644/16 Gstatterstein-Nordhöhle 6	Entdeckung und Dokumentation 2018	15	15	+4
1644/17 Gstatterstein-Nordhöhle 7	Entdeckung und Dokumentation 2018	11	11	±9
1644/19 Gstatterstein-Südwesthöhle 1	Entdeckung und Dokumentation 2019	6	6	+4
1644/20 Gstatterstein-Nordhöhle 8	Entdeckung und Dokumentation 2019	11	11	+7
1644/21 Gstatterstein-Nordhöhle 9	Entdeckung und Dokumentation 2019	13	13	+9
1644/22 Gstatterstein-Nordhöhle 10	Entdeckung und Dokumentation 2019	6	6	+2
1644/23 Gstatterstein-Nordhöhle 11	Entdeckung und Dokumentation 2019	10	10	+6
1644/24 Gstatterstein-Südwesthöhle 2	Entdeckung und Dokumentation 2020	6	6	+2
1644/25 Gstatterstein-Südwesthöhle 3	Entdeckung und Dokumentation 2020	5	5	+5
1644/26 Gstatterstein-Südwesthöhle 4	Entdeckung und Dokumentation 2020	6	6	±3

1711, Admonter Reichenstein		242		
1711/1 Bürgelklüfte	Abschluss Dokumentation 2015, 2016	116	116	±12
1711/36 Schräge Kluff	Abschluss Dokumentation 2015	8	8	±3
1711/37 Kaderalplhöhle	Abschluss Dokumentation 2015	36	36	+10
1711/38 Turmdurchstieg	Abschluss Dokumentation 2015	10	10	+5
1711/56 Breitschütt-Holzknestrast	Abschluss Dokumentation 2015	14	14	+4
1711/62 Bürgelklüfte II	Entdeckung und Dokumentation 2016	32	32	±12
1711/63 Bürgelklüfte III	Entdeckung und Dokumentation 2016	26	26	-12
1712, Hochtör		3220		
1712/26 Roßkarschacht III	Weiterforschung 2018	6	23	-14
1712/27 Roßkarschacht IV	Weiterforschung 2015	31	825	±262
1712/52 Schneelochloch III	Abschluss Dokumentation 2018	40	40	-15
1712/53 Schneelochloch IV	Abschluss Dokumentation 2020	36	36	-10
1712/103 Tellersteinfeldschacht II	Abschluss Dokumentation 2015	12	12	-7
1712/104 Tellersteinfeldschacht III	Abschluss Dokumentation 2015	8	8	-7
1712/105 Tellersteinfeldschacht IV	Abschluss Dokumentation 2015	17	17	-13
1712/106 Tellersteinfeldschacht V	Abschluss Dokumentation 2015	7	7	-6
1712/107 Tellerstein-Gipfelhangschacht	Abschluss Dokumentation 2015	8	8	-4
1712/113 Guglschacht I	Abschluss Dokumentation 2015, 2016	85	85	-49
1712/118 Roßkarschacht XIII	Abschluss Dokumentation 2018	13	46	±36
1712/121 Schneekarschacht III	Abschluss Dokumentation 2014	8	8	-7
1712/127 Schneekarschacht IX	Abschluss Dokumentation 2014	5	5	-5
1712/129 Schneekarschacht XI	Weiterforschung 2014, 2015, 2018, 2020	766	896	-432
1712/142 Seekarschacht XVI	Weiterforschung 2014, 2016, 2017	233	1741	-579
1712/167 Schneekarschacht XIII	Abschluss Dokumentation 2015	18	18	-12
1712/183 Schneekarschacht XIX	Abschluss Dokumentation 2014	11	11	±17
1712/184 Schneekarschacht XX	Abschluss Dokumentation 2014	12	12	-11
1712/186 Schneekarschacht XXII	Weiterforschung 2017, Zuschluss m. Schutttschluckerhöhle 1712/267	256	286	±80
1712/189 Schneekarschacht XXV	Abschluss Dokumentation 2014	10	10	-9
1712/190 Schneekarschacht XXVI	Abschluss Dokumentation 2015, 2016, Zusammenschluss mit 1712/191	315	367	±134
1712/192 Schneekarschacht XXVII	Abschluss Dokumentation 2016	17	17	-16
1712/193 Schneekarschacht XXIX	Abschluss Dokumentation 2014	38	38	-21
1712/194 Schneekarschacht XXX	Abschluss Dokumentation 2016, 2020	20	20	±11
1712/195 Schneekarschacht XXXI	Weiterforschung 2018	113	113	±65
1712/196 Schneekarschacht XXXII	Abschluss Dokumentation 2017	36	36	-20
1712/199 Schneekarschacht XXXV	Abschluss Dokumentation 2018	21	21	-21
1712/210 Felsbuckelschacht	Weiterforschung 2016	9	20	-12
1712/217 Kloseweghöhle I	Abschluss Dokumentation 2015	43	43	-13
1712/218 Kloseweghöhle II	Weiterforschung 2015	60	60	+23
1712/221 Hochtör-Gipfelschacht	Abschluss Dokumentation 2015	2	18	-17
1712/240 Schneelochwegkluff V	Abschluss Dokumentation 2017	7	50	-32
1712/250 Schneekarschacht XLIX	Abschluss Dokumentation 2020	11	11	-11
1712/251 Schneekarschacht L	Abschluss Dokumentation 2020	68	68	-35
1712/252 Schneekarschacht LI	Abschluss Dokumentation 2016	5	5	-4
1712/253 Schneekarschacht LII	Abschluss Dokumentation 2015	8	8	-5
1712/254 Schneekarschacht LIII	Abschluss Dokumentation 2020	17	17	-15
1712/255 Schneelochpfeiler-Eisschacht	Abschluss Dokumentation 2013	212	212	±68
1712/256 Schneelochpfeilerloch XII	Abschluss Dokumentation 2013	12	12	-11
1712/257 Schneekarschacht LIV	Entdeckung und Dokumentation 2013	16	16	-14
1712/258 Schneelochloch XI	Entdeckung und Dokumentation 2014	43	43	-18
1712/259 Haglplankluff	Entdeckung und Dokumentation 2015	6	6	+3
1712/260 Haindlkarturm-Nordwandhöhle	Abschluss Dokumentation 2016	23	23	±12
1712/261 Schneekarschacht LV	Entdeckung und Dokumentation 2014	7	7	-6
1712/262 Schneekarschacht LVI	Entdeckung und Dokumentation 2014	14	14	-12
1712/263 Unteres Jahn-Weiß-Zimmer	Entdeckung und Dokumentation 2014	18	18	+13
1712/264 Oberes Jahn-Weiß-Zimmer	Entdeckung und Dokumentation 2014	8	8	+4
1712/265 Guglschacht V	Entdeckung und Dokumentation 2015	21	21	-12
1712/266 Höhle unter der Ödsteinkante	Entdeckung und Dokumentation 2016	38	38	+13
1712/268 Schneekarschacht LVII	Entdeckung und Dokumentation 2015	8	8	-8
1712/269 Rinnersteinkluff	Entdeckung und Dokumentation 2016	10	10	+8
1712/270 Kleiner Felsbuckelschacht	Entdeckung und Dokumentation 2016	7	7	-4
1712/271 Mitterriedldurchgang	Entdeckung und Dokumentation 2016	9	9	-5
1712/272 Raiblerloch	Entdeckung und Dokumentation 2016	6	6	+5
1712/273 Gsengkoglspalte	Entdeckung und Dokumentation 2016	7	7	+5
1712/274 Preußesteinstiegskammer	Entdeckung und Dokumentation 2016	10	10	+7
1712/275 Schneelochwegschacht	Entdeckung und Dokumentation 2016	11	11	-6
1712/276 Schneelochpfeilergang	Entdeckung und Dokumentation 2016	18	18	+2
1712/277 Schneekarschacht LIX	Entdeckung und Dokumentation 2016	6	6	-6
1712/278 Schneekarschacht LX	Entdeckung und Dokumentation 2016	9	9	-8
1712/279 Schneekarschacht LX	Entdeckung und Dokumentation 2018	19	19	-17
1712/280 Schneekarschacht LXI	Entdeckung und Dokumentation 2018	12	12	-11
1712/281 Schneekarschacht LXII	Entdeckung und Dokumentation 2017	8	8	-7
1712/282 Schneekarschacht LXIII	Entdeckung und Dokumentation 2017	12	12	-12

1712/283 Schneekarschacht LXIV	Entdeckung und Dokumentation 2017	118	118	-70
1712/284 Schneekarbodenloch	Entdeckung und Dokumentation 2018	16	16	-14
1712/285 Roßschweifwandfuge	Entdeckung und Dokumentation 2018	6	6	+1
1712/286 Schneelochloch XII	Entdeckung und Dokumentation 2018	11	11	-10
1712/287 Schneelochpfeilersockelhöhle	Entdeckung und Dokumentation 2018	16	16	+5
1712/288 Schneekarschacht LXV	Entdeckung und Dokumentation 2020	18	18	-15
1712/289 Schneekar-Eiswindhöhle	Entdeckung und Dokumentation 2020	93	93	27
1713, Zinödl, Stadelfeld		3241		
1713/2 Rotofenhöhle	Abschluss Dokumentation 2016	65	65	±7
1713/10 Mitterhöhle	Teilweise Neuvermessung 2015	82	116	±26
1713/11 Wasserloch	Neuvermessung 2015	9	9	+3
1713/19 Rote Höhle	Abschluss Dokumentation 2017, Zus.schluss m. Kolkhöhle 1713/20	38	38	±10
1713/22 Stadelalm-Eiskluft	Weiterforschung 2013, 2015, 2016, 2017, 2018, 2019	1642	4177	±627
1713/23 Stiegmauerhöhle	Abschluss Dokumentation 2014	58	58	±12
1713/24 Stiegmauerschichtfugenhöhle	Abschluss Dokumentation 2014	23	23	+2
1713/25 Höllbodenhöhle	Abschluss Dokumentation 2013	14	14	+3
1713/26 Höllbodennische	Abschluss Dokumentation 2013	7	7	+5
1713/27 Scheichkogelhöhle	Abschluss Dokumentation 2018	121	121	+25
1713/33 Geiermauerhöhle	Abschluss Dokumentation 2018	15	15	-3
1713/34 Hochreithöhle	Abschluss Dokumentation 2018	14	14	+3
1713/35 Stadelschluf	Abschluss Dokumentation 2013	52	52	-26
1713/58 Schacht bei Rote-Block-Höhle	Entdeckung 2013			
1713/59 Schrägschacht	Abschluss Dokumentation 2013	33	33	-8
1713/60 Erdrutsche	Abschluss Dokumentation 2013	11	11	-5
1713/61 Grüne Höhle	Abschluss Dokumentation 2013	60	60	-21
1713/62 Speikbodenhöhle	Entdeckung und Dokumentation 2013	19	19	-13
1713/63 Derlerstiegenloch II	Entdeckung und Dokumentation 2013	41	41	±12
1713/64 Derlerstiegenloch III	Entdeckung und Dokumentation 2013	10	10	-3
1713/65 Zweihüttenblickhöhle	Entdeckung und Dokumentation 2014	21	21	±11
1713/69 Spinnenbiotop	Entdeckung und Dokumentation 2014	15	15	+3
1713/70 Minotaurusspalte	Entdeckung und Dokumentation 2014	22	22	±5
1713/71 Steinkarlschacht I	Entdeckung und Dokumentation 2014	72	72	-20
1713/72 Apollo-Pritschel-Schacht	Entdeckung und Dokumentation 2014	42	42	-13
1713/73 Roberts Schacht	Entdeckung und Dokumentation 2014	43	43	-19
1713/74 Blockschacht II	Entdeckung und Dokumentation 2014	15	15	-13
1713/75 Blockschacht III	Entdeckung und Dokumentation 2014	11	11	-10
1713/76 Unterstand	Entdeckung und Dokumentation 2018	29	29	±8
1713/77 Farnschacht	Entdeckung 2013			
1713/78 Waldfrauen-Halbhöhle	Abschluss Dokumentation 2015	6	6	+3
1713/79 Fensterlcanyon	Entdeckung und Dokumentation 2015	7	7	+8
1713/80 Gsuechmurerschacht	Entdeckung und Dokumentation 2016	5	5	-5
1713/81 Josefbrunnen	Abschluss Dokumentation 2016	27	27	-20
1713/82 Petruspforte	Abschluss Dokumentation 2016	35	35	-31
1713/83 Fetzersteigschluf	Entdeckung und Dokumentation 2016	8	8	-1
1713/84 Eisheilighenschächte	Abschluss Dokumentation 2016	108	108	±35
1713/85 Scheinheilighenschächte	Entdeckung und Dokumentation 2016	37	37	-13
1713/86 Karlsteinschacht	Entdeckung und Dokumentation 2016	8	8	±8
1713/87 Steinkarl-Eiskluft	Entdeckung und Dokumentation 2016	54	54	±43
1713/88 Kummerwaldwandhöhle	Entdeckung und Dokumentation 2017	29	29	+12
1713/89 Orange Höhle	Entdeckung und Dokumentation 2017	19	19	+14
1713/90 Tüchtig-tüchtig-Höhle	Entdeckung und Dokumentation 2017	14	14	+7
1713/91 Hirschkuschächten	Entdeckung und Dokumentation 2018	6	6	-5
1713/92 Sulzkarschacht	Entdeckung und Dokumentation 2018, 2019	33	33	-21
1713/93 Tannenhäherkluft	Entdeckung und Dokumentation 2018	8	8	+4
1713/94 Steinkarlschacht II	Entdeckung und Dokumentation 2018	35	35	-16
1713/95 Steinkarlschacht III	Entdeckung und Dokumentation 2018	36	36	-16
1713/96 Steinkarlschacht IV	Entdeckung und Dokumentation 2018	13	13	-10
1713/97 Teufelsarsch-Spalte	Entdeckung und Dokumentation 2018	6	6	+2
1713/98 Teufelsarsch-Halbhöhle	Entdeckung und Dokumentation 2018	8	8	±17
1713/99 Gamsbrunn-Versturzlloch	Entdeckung und Dokumentation 2018	14	14	-2
1713/100 Gamsbrunnspalte	Entdeckung und Dokumentation 2019	9	9	-5
1713/101 Gamsfriedhofschacht	Entdeckung und Dokumentation 2019	22	22	-13
1713/102 Stadelmurerschacht V	Abschluss Dokumentation 2019	9	9	-8
1713/103 Sulzkarspalt 1	Entdeckung und Dokumentation 2019	19	19	-14
1713/104 Sulzkarspalt 2	Entdeckung und Dokumentation 2019	16	16	-5
1713/105 Handhabenschluf	Entdeckung und Dokumentation 2020	13	13	5
1713/106 Handhabenkluft	Entdeckung und Dokumentation 2020	14	14	+9
1713/107 Gamsknochenhöhle	Abschluss Dokumentation 2020	9	9	+3
1713/108 Rotofen-Wandfußloch	Entdeckung und Dokumentation 2020	8	8	+1
1713/109 Rotofen-Überhangspalt	Entdeckung und Dokumentation 2020	10	10	-5
1713/110 Kletterportalhöhle	Entdeckung und Dokumentation 2020	12	12	+2
1713/111 Triebwasserstollen-Schlothöhle	Katasteraufnahme aufgrund Literaturfund	0	8	+8

1714, Lugauer		1085		
1714/2 Hartelsgrabengeisthöhle	Abschluss Dokumentation 2019	84	84	±15
1714/7 Plateaurandhöhle	Abschluss Dokumentation 2020	46	46	+9
1714/10 Ennseckhöhle	Abschluss Dokumentation 2013	495	495	+57
1714/13 Unteres Tor	Abschluss Dokumentation 2019	57	57	+27
1714/25 Höhle unter dem G'spitzten Stein	Entdeckung und Dokumentation 2017	38	38	+2
1714/26 Hollerhöhle	Entdeckung und Dokumentation 2017	18	18	8
1714/27 Heuschreckenhöhle	Entdeckung und Dokumentation 2017	20	20	+2
1714/28 Gamstodhöhle	Entdeckung und Dokumentation 2017	14	14	+3
1714/29 Wasserfallnische	Entdeckung und Dokumentation 2018	9	9	+5
1714/30 Nixwurzelhöhle	Entdeckung und Dokumentation 2019	23	23	-4
1714/31 Felsenquelle	Entdeckung und Dokumentation 2019	15	15	+5
1714/32 Forststraßenspalte	Entdeckung und Dokumentation 2019	59	59	-12
1714/33 Südliche Nebengeisthöhle	Entdeckung und Dokumentation 2019	14	14	±4
1714/34 Nördliche Nebengeisthöhle	Entdeckung und Dokumentation 2019	17	17	±3
1714/35 Makasihöhle	Entdeckung und Dokumentation 2020	68	68	12
1714/36 Schalenkogelhöhle	Entdeckung und Dokumentation 2020	78	78	±9
1714/37 Forststraßenfortsetzungsloch	Entdeckung und Dokumentation 2020	11	11	-1
1714/38 Schalenkogelloch	Entdeckung und Dokumentation 2020	6	6	+2
1714/39 Schalenkogelkluft	Entdeckung und Dokumentation 2020	7	7	+4
1714/40 Blockdurchstieg	Entdeckung und Dokumentation 2020	6	6	-3
Summe		8745		

Legende. Spalte „neu“ gibt die in den Jahren 2013 bis 2020 vermessene, neu hinzugekommene Ganglänge an, „GL“ ist die per Ende 2020 gültige Gesamtganglänge, „H“ der per Ende 2020 gültige Höhenunterschied.

Erläuterungen zur Tabelle. „Weiterforschung“ bedeutet hier, dass eine bereits vor 2013 bekannte Höhle weiter erforscht und vermessen wurde. Die Höhle ist in den bekannten Ausmaßen vollständig dokumentiert. Fortsetzungen sind offen.

„Abschluss Dokumentation“ bedeutet hier, dass eine bereits vor 2013 höhlenkundlich bekannte Höhle nun als vollständig erforscht und dokumentiert gilt. Dabei kann aber nicht ausgeschlossen werden, dass es noch nicht offensichtliche, schwer oder derzeit nicht zugängliche Fortsetzungen z.B. in Schloten oder hinter Schneever-schlüssen und Engstellen gibt.

„Entdeckung und Dokumentation“ bedeutet hier, dass die Höhle nach 2012 (für die Höhlenkunde) entdeckt und vollständig dokumentiert wurde.

Es ist dabei unerheblich, von wem die Höhle entdeckt wurde. Die Jahreszahl bezieht sich auf das Datum der Dokumentation. Betreffend Erforschung gilt dasselbe wie oben.

Darüber hinaus gibt es eine große Anzahl von registrierten Höhlen und Höhlenportalen, die mit hoher Wahrscheinlichkeit katasterwürdige Höhlen darstellen, die aber unabhängig vom Jahr der Entdeckung noch völlig unerforscht sind und daher in dieser Tabelle nicht aufscheinen. Diese Objekte werden in sogenannten „Wartelisten“ geführt.

Weiters wurden Höhlen in den hier betrachteten Gebieten auch von anderen Forschern und Forschergruppen unabhängig vom Projekt Speleo Alpin Gesäuse bearbeitet (z.B. Höhlen in Teilgruppe 1711, bearbeitet von E. Straka jun.). Diese Höhlen sind ebenfalls nicht in der Tabelle verzeichnet aber in einem Unterkapitel am Ende von Kapitel 3 angeführt.

Bei 1713/10 wurde in Unkenntnis der Vermessung aus dem Jahr 1971

eine teilweise Neuvermessung durchgeführt. Dabei wurden einige wasser-durchflossene Höhlenteile nicht mit einbezogen, wodurch die neu vermessene Ganglänge unter jener von 1971 lag. Trotzdem wurde diese Ganglänge in der Vermessungsstatistik berücksichtigt, da auch ein dem aktuellen Dokumentationsniveau entsprechender Plan erstellt wurde. Gleiches gilt für 1713/11.

Bei der Stadelalm-Eiskluft (1713/22) kam es im Jahr 2018 aufgrund eines Messdatenabgleichs mit dem früher vermessenen Höhlenteil „Stadelfeld-Riesenschacht“ zu einem zusätzlichen Ganglängenzuwachs von 109 m, der hier in der Spalte „neu“ nicht berücksichtigt ist, jedoch in der Spalte GL schon, um die aktuell gültige Gesamtganglänge zu zeigen.

Bloße Literaturergänzungen oder Koordinatenpräzisierungen von bereits früher bearbeiteten Höhlen werden in dieser Tabelle nicht angeführt, finden sich aber im Beschreibungsteil.

Lageübersicht

Die Karten auf den Seiten 19–23 geben einen Überblick über die Lage der Höhlen in den jeweiligen Teilgruppen. Rote Punkte mit weißem Rand und blauer Höhlennummer bezeichnen Höhlen, die in diesem Artikel behandelt werden. Einfache rote Punkte stellen die übrigen Höhlen der Teilgruppe dar. Sind auf einer Karte zusätzlich orange Punkte, so handelt es sich bei diesen Höhlen um Vertreter einer zweiten Teilgruppe, die auf der Karte (teilweise) gezeigt wird. Kleine

Punkte bezeichnen Kleinhöhlen mit unter 50 m Ganglänge, mittelgroße sind Mittelhöhlen mit Ganglängen von 50 m bis 499 m, und große Punkt stellen schließlich Großhöhlen mit 500 m bis 4999 m Ganglänge dar. Riesenhöhlen mit Ganglängen ab 5000 m sind im Gesäuse bisher nicht bekannt. Als Kartengrundlage dient Austrian basemap.at mit eigener Bearbeitung.

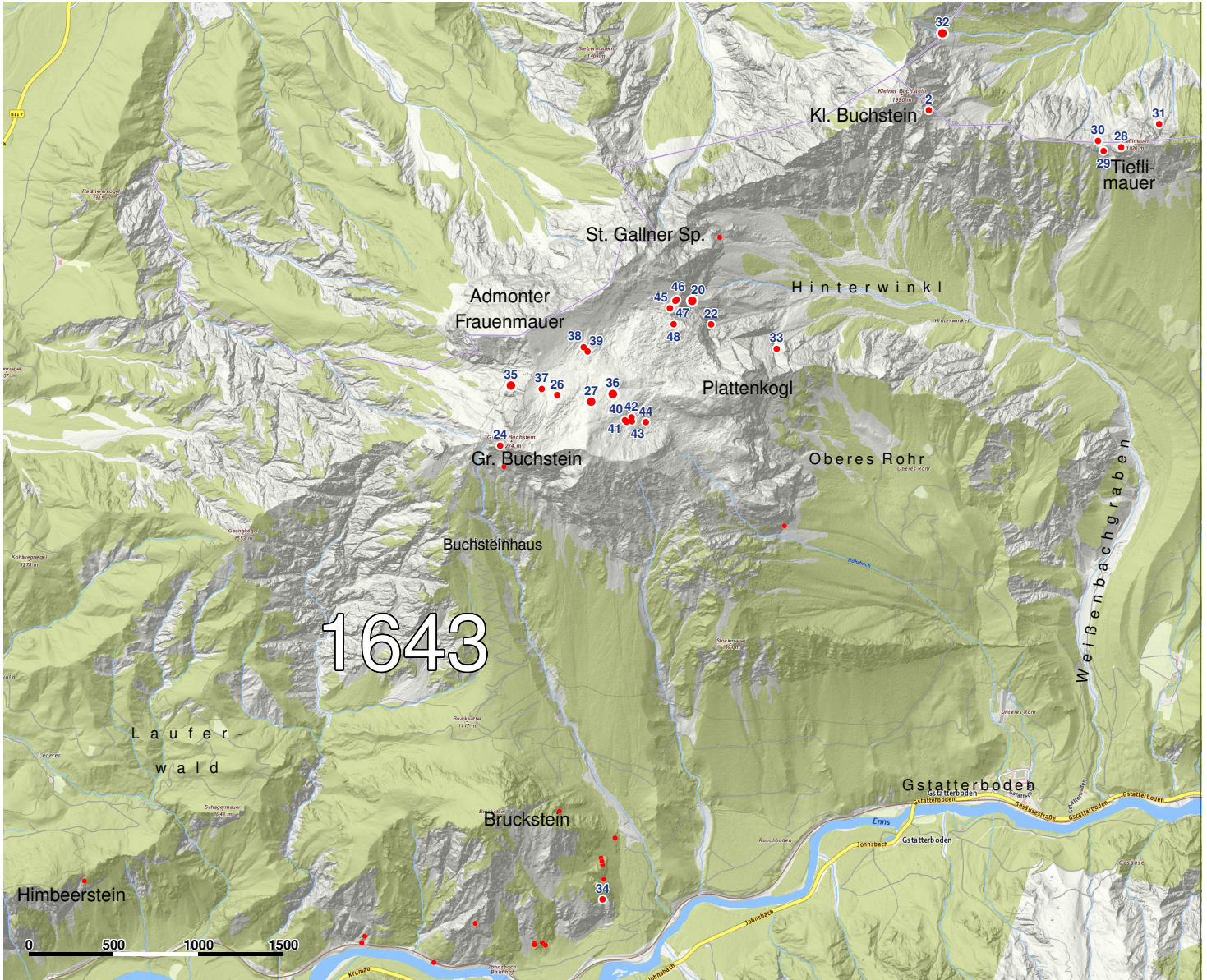


Abb. 3.1. Lage der Höhlen in der Teilgruppe 1643, Buchstein



Abb. 3.2. Auf der Buchsteinhochfläche; im Hintergrund ragt die Stumpfmauer aus dem Nebel, rechts der Kleine Buchstein (Foto: J. Wallner).

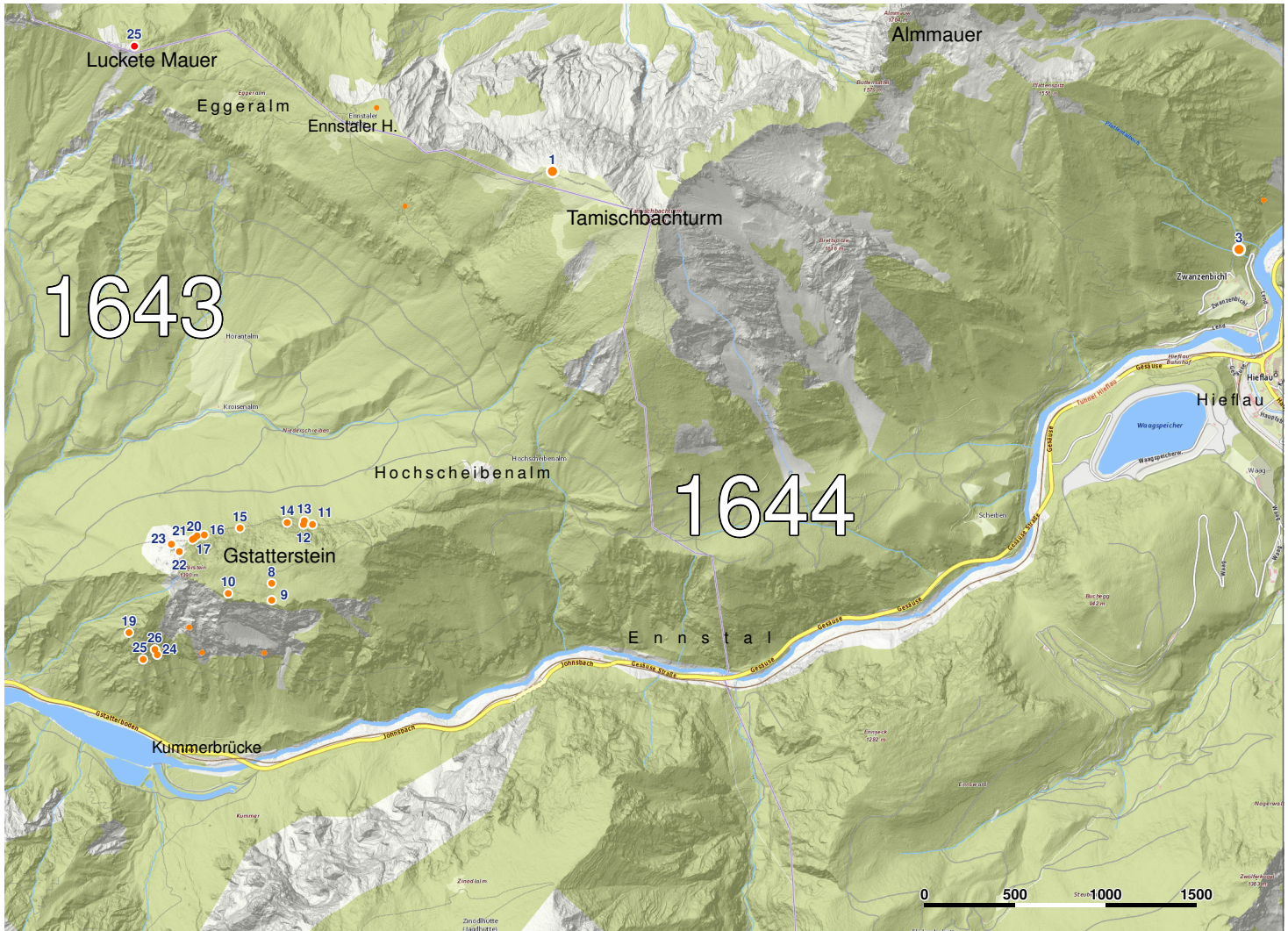


Abb. 3.3. Lage der Höhlen in den Teilgruppen 1643, Buchstein (rot) und 1644, Tamischbachturm (orange).



Abb. 3.4. Die Gstatterstein-Südabstürze (Teilgruppe 1644) fotografiert vom Handhabenriedl aus. Im Hintergrund ragt die Buchsteingruppe auf (Teilgruppe 1643; Foto: R. Fischer).

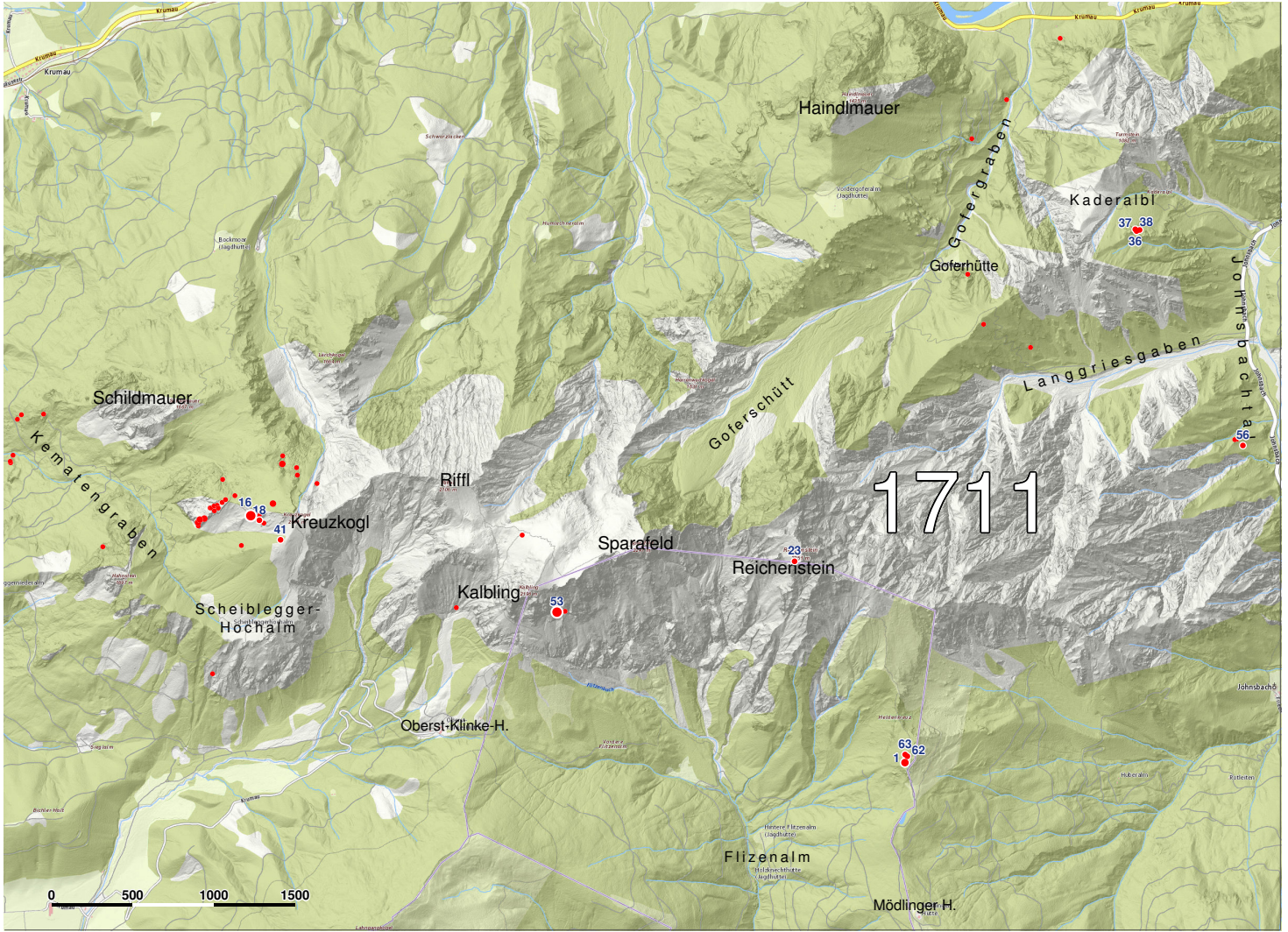


Abb. 3.5. Lage der Höhlen in der Teilgruppe 1711, Admonter Reichenstein



Abb. 3.6. Die Kataster-Teilgruppe 1711: Admonter Reichenstein, Sparafeld und Kreuzkogel (Foto: R. Fischer).

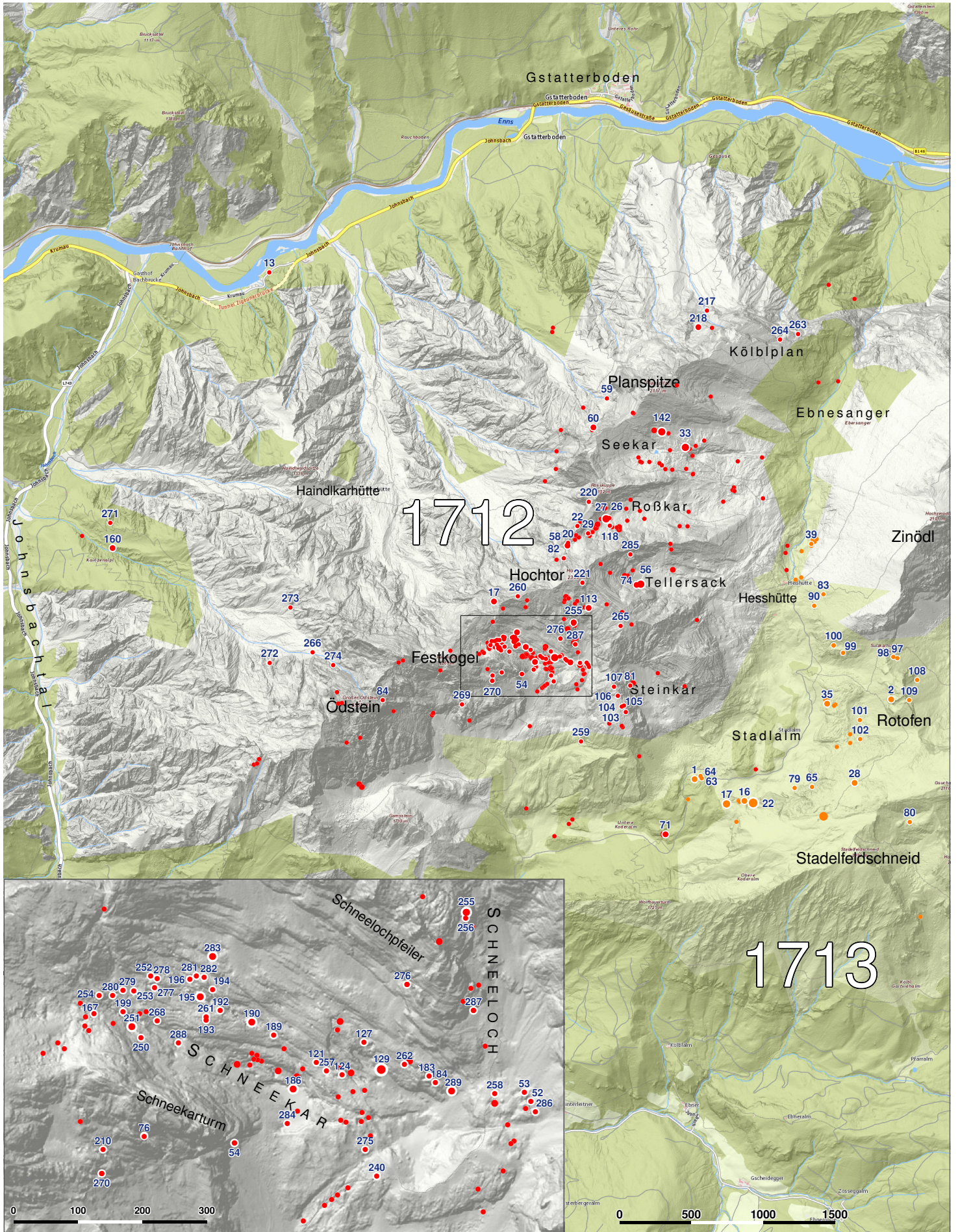


Abb. 3.7. Lage der Höhlen in der Teilgruppe 1712, Hochtor und Teilgruppe 1713, Zinödl (Westteil)

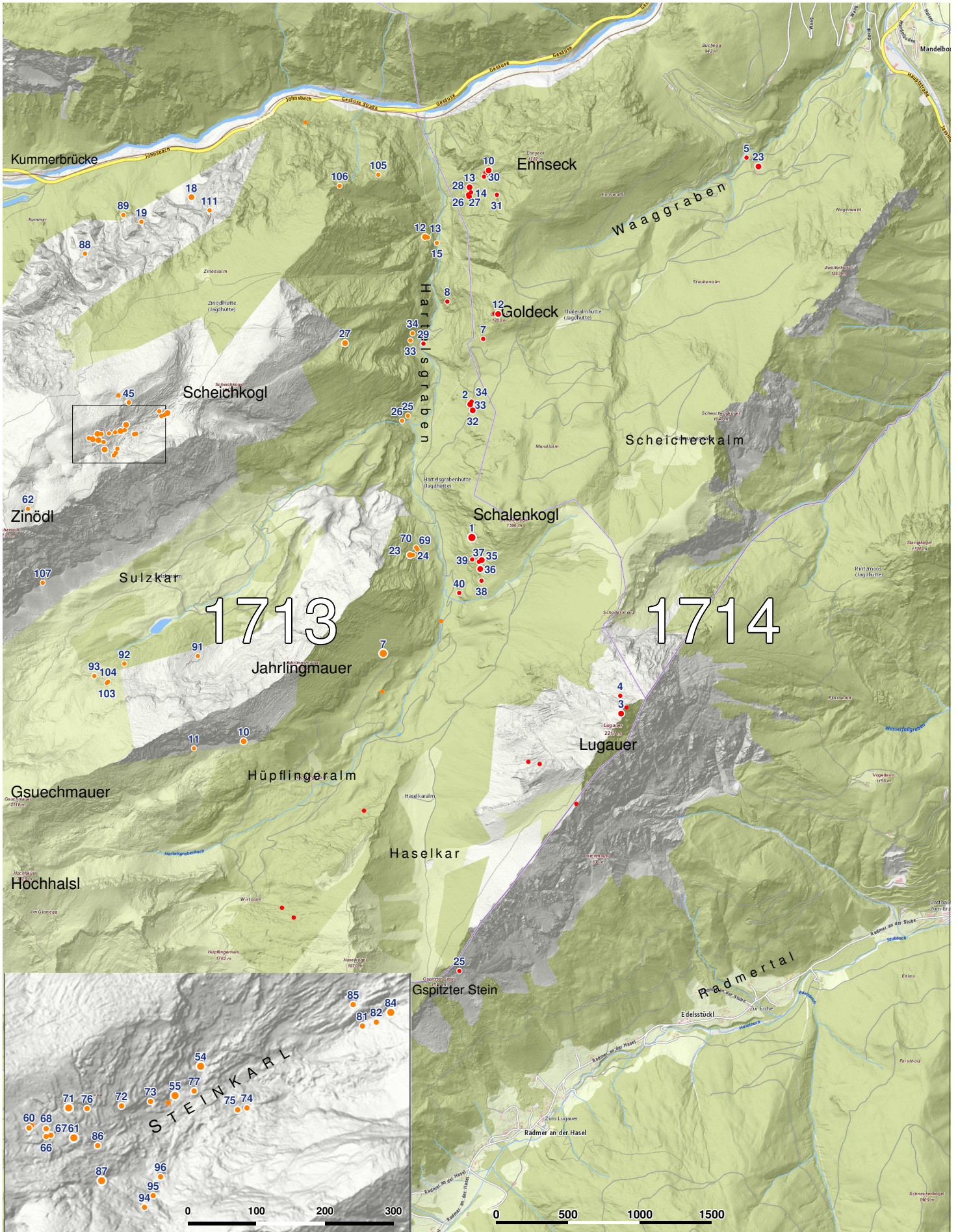


Abb. 3.8. Lage der Höhlen in den Teilgruppen 1713, Zinödl (Ostteil) und 1714, Lugauer

Forschungsstatistik

Die Grafiken in Abb. 3.9–3.11 geben Auskunft über die Anzahl der im Zeitraum 2013 bis 2020 neu in das Österreichische Höhlenverzeichnis (ÖHVZ) aufgenommenen Höhlen und über die vermessene Ganglänge kumuliert bzw. jeweils gliedert in Teilgruppen und Jahre sowie die Anzahl der jährlichen Forschungsteilnehmer.

Interessant ist, dass sich bezüglich der durchschnittlichen jährlichen Ganglängenvermessung trotz unterschiedlicher Teilnehmerzahlen und sich verschiebender Forschungsschwerpunkte in beiden Forschungsperioden 2002–2012 und 2013–2020 sehr ähnliche Zahlen ergeben. Die jährlich neu hinzukommende Ganglänge liegt seit 2002 im Durchschnitt bei rund 1,1 km.

Lag der Forschungsschwerpunkt in der ersten Periode in der Teilgruppe 1712, Hochtor, so verschob er sich mit fortschreitendem Forschungsstand dort vermehrt in die benachbarten Teilgruppen. Insbesondere die Gruppe 1713, Zinödl mit der Stadelalm-Eiskluft als mit Abstand längstem Objekt des Gesäuses steht seit mittlerweile über 10 Jahren ebenso im Fokus. In der östlich anschließenden Gruppe 1714, Lugauer – gleichsam das äußerste Osteck der südlichen Gesäuseberge darstellend – kam es bisher zwar nicht zu derart flächigen Erkundungen, jedoch wurde sehr gezielt in Bereichen mit schon altbekannten Höhlen geforscht und dokumentiert. Die überwiegend horizontal entwickelten Höhlen hier stehen in krassem Gegensatz zu den höher liegenden Schachtcanyons westlich des Zinödlzugs.

Erst ab 2017 wurde auch dem Karst nördlich der Enns in den Teilgruppen 1643, Buchstein und 1644, Tamischbachturm

verstärkte Aufmerksamkeit gewidmet. Diese Entwicklung erreichte 2020 mit der ersten planmäßig durchgeführten Großprospektion des Buchsteinsplateaus einen ersten Höhepunkt. Es ist zu erwarten, dass zukünftig die meisten Neuentdeckungen in diesen Gebieten gelingen werden.

Nicht ungewöhnlich ist die Tatsache, dass die weitaus überwiegende Zahl der neu entdeckten Höhlen auch von 2013 bis 2020 Kleinhöhlen mit einer Ganglänge bis 50 m sind. Allerdings muss auch festgehalten werden, dass in dieser Periode keine einzige Großhöhle neu entdeckt werden konnte. Dies könnte aber auch nur dem mit fortschreitendem Forschungsstand immer schwierigeren Zustiegsterrain geschuldet sein, da allein der An- und Abstieg bei vielen potenziellen Höhleneinstiegen schon eine große alpinistische Unternehmung darstellt.

Die Grafik in Abb. 3.12 zeigt die Verteilung der Ganglängen aller zwischen 2013 und 2020 in das ÖHVZ aufgenommenen Höhlen mit Ganglängen ab 50 m.

Dass nur 13 Höhlen über 50 m Ganglänge mit einer insgesamten Länge von nur 1214 m neu in das ÖHVZ kamen, mag etwas überraschen. Es zeigt aber einerseits die bereits gute Durchforschung der Teilgruppen 1712 und 1713 vor 2013 und andererseits auch die erst am Beginn stehenden Forschungen am Buchsteinplateau (1643). Vor allem in 1712 und 1713 lag ein Schwerpunkt in der Aufarbeitung und vollständigen Dokumentation bereits früher in das ÖHVZ aufgenommenen Objekte.

Demgegenüber stehen jedoch markante Ganglängenzuwächse in einigen wenigen bereits früher entdeckten Großhöhlen des Gebiets, die einen weiteren Forschungsfokus

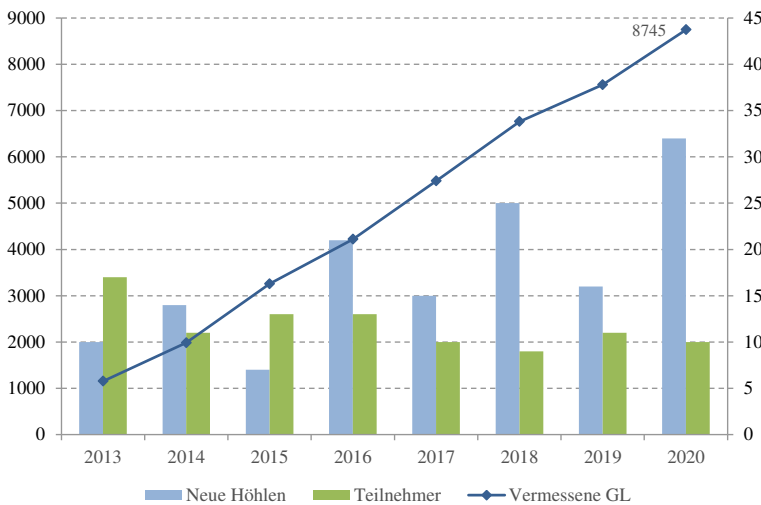


Abb. 3.9. Allgemeine Forschungsstatistik Speleo Alpin Gesäuse 2013–2020. Dargestellt sind die neu vermessene Ganglängen kumuliert (in m, linke Skala) sowie die Anzahl der Teilnehmer und der neu entdeckten Höhlen (rechte Skala).

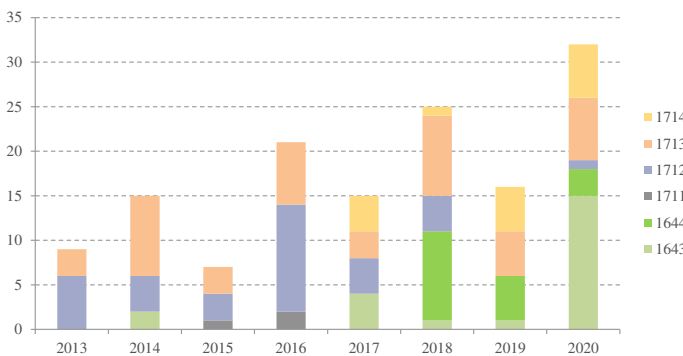


Abb. 3.10. Neuaufnahmen von Höhlen in das ÖHVZ im Zuge von Speleo Alpin Gesäuse 2013–2020.

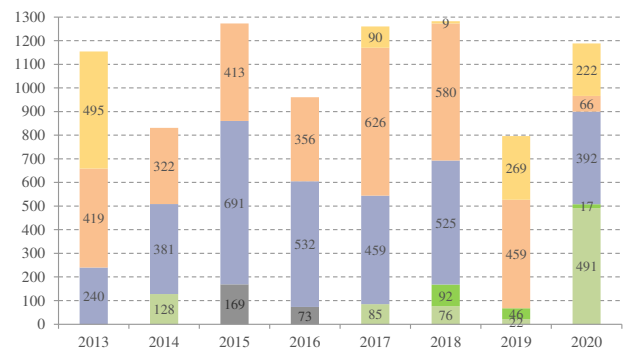


Abb. 3.11. Vermessene neue Ganglängen 2013–2020 im Zuge des Speleo Alpin Gesäuse Projekts.

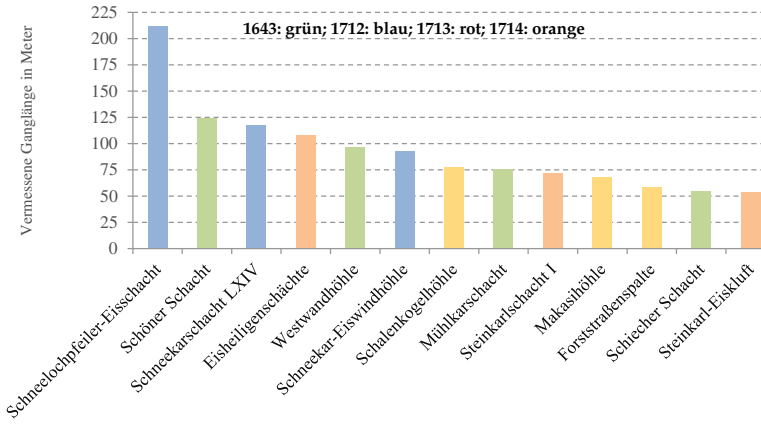


Abb. 3.12. Ganglängenverteilung aller im Zeitraum 2013–2020 im Zuge des Speleo Alpin Gesäuse Projektes neu in das ÖHVZ aufgenommenen Höhlen mit Ganglängen ab 50 m.

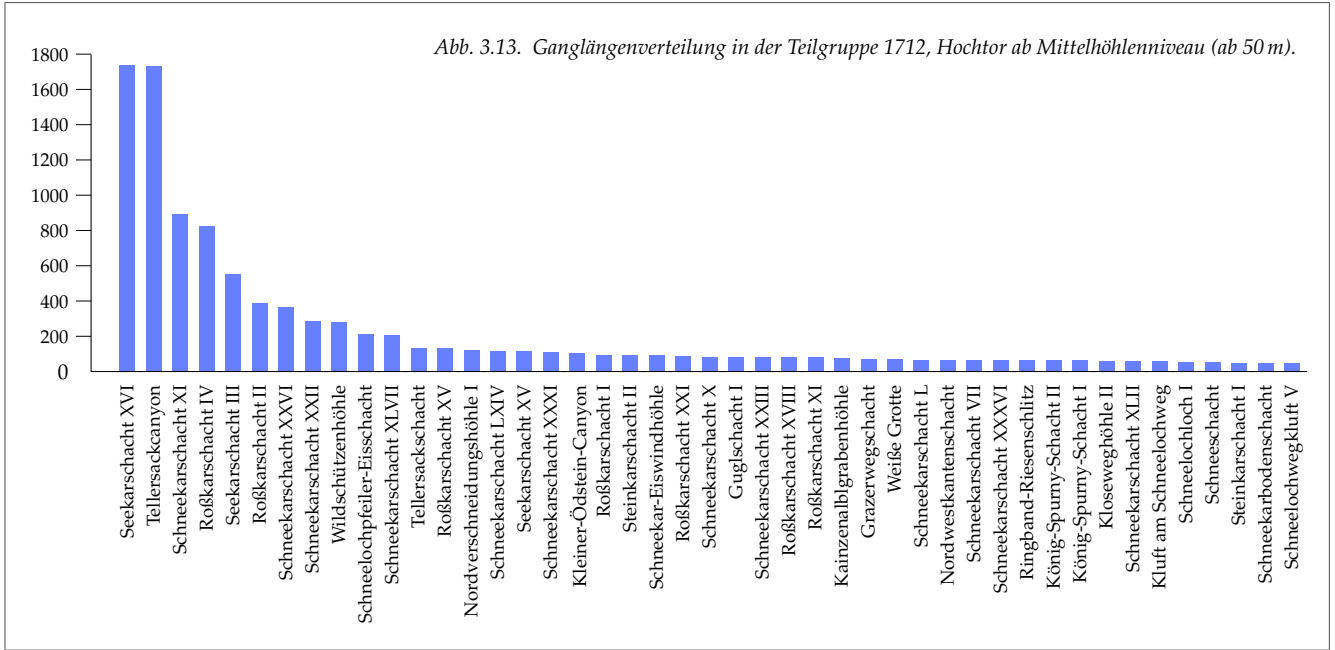


Abb. 3.13. Ganglängenverteilung in der Teilgruppe 1712, Hochtör ab Mittelhöhlenniveau (ab 50 m).

bildeten. Hervorzuheben sind hier die Stadelalm-Eiskluft (1713/22) mit einem Zuwachs⁴ von 1642 m sowie der Schneekarschacht XI („Schneekar-Eishöhle“, 1712/129) mit einem Zuwachs von 766 m seit 2013. Letzterer wird demnächst mit großer Sicherheit auch die Tiefenmarke von 500 m überschreiten und auch längenmäßig sollte hier noch viel Potenzial vorhanden sein. Erwähnenswert ist auch die erstmalige Vermessung der altbekannten Ennseckhöhle (1714/10) im Hartelsgraben mit einer Ganglänge von 495 m.

Es muss an dieser Stelle angemerkt werden, dass neben dem hier dargestellten Projekt *Speleo Alpin* fallweise auch andere Forscher und Forschergruppen im Gesäuse aktiv sind. Somit stellen die obigen Zahlen nicht den gesamten Höhlen-Neulandzuwachs im Gesäuse dar, wengleich auch den allergrößten Teil; siehe auch Kapitel „Forschungen im Gesäuse abseits des Projekts Speleo Alpin“.

Die Grafiken ab Abb. 3.13 zeigen die Ganglängenverteilungen aller im Kataster befindlichen Höhlen ab Mittelhöhlenniveau in ausgewählten Katasterteilgruppen per Ende 2020.

Wie bereits von HERRMANN & FISCHER 2013: 290ff beschrieben, deutet ein logarithmisches Bild der Ganglängenverteilung in einem Gebiet auf einen bereits guten Durchforschungsgrad hin. Anhand der Teilgruppe 1712 kann mit der

charakteristischen logarithmischen Ganglängenverteilung der Höhlen ab 50 m Ganglänge gezeigt werden, dass es sich um ein bereits gut (oder zumindest repräsentativ) erforschtes Gebiet handelt (Abb. 3.13). Mittlerweile gilt dies auch für 1713, wenn auch in abgeschwächter Form (Abb. 3.14).

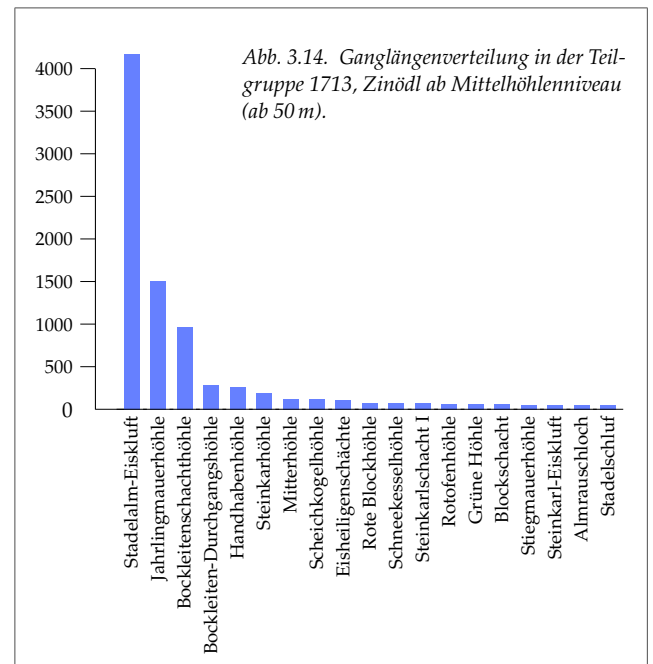


Abb. 3.14. Ganglängenverteilung in der Teilgruppe 1713, Zinödl ab Mittelhöhlenniveau (ab 50 m).

⁴In diesem Ganglängenzuwachs sind 109 m, die sich durch die im Jahr 2018 erstmals zur Verfügung stehenden alten Messdaten des Höhlenteils „Stadelfeld-Riesenschacht“ und die dadurch mögliche genaue Abgrenzung der Neuvermessungen mit den „alten“ Teilen ergaben, nicht enthalten.

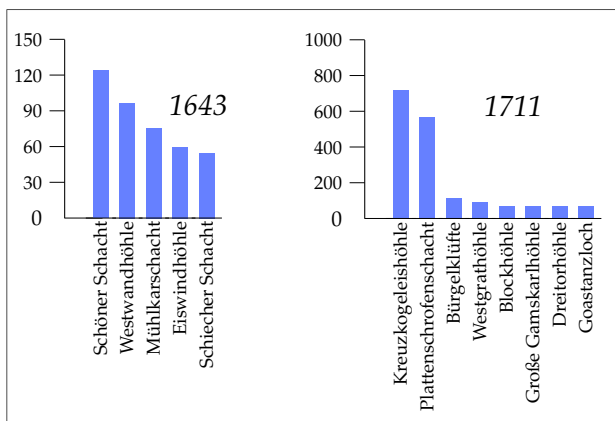


Abb. 3.15. Ganglängenverteilung in den Teilgruppen 1643, Buchstein und 1711, Admonter Reichenstein ab Mittelhöhlenniveau (ab 50 m).

Demgegenüber stehen Gebiete wie 1643, Buchstein oder 1711, Admonter Reichenstein, in denen dieses typische Merkmal noch nicht erreicht ist (Abb. 3.15).

Unverändert gegenüber der ersten Forschungsperiode bis 2012 ist auch bei den neu aufgenommenen Mittelhöhlen die größere Vertikalerstreckung (H) verglichen mit der Horizontalerstreckung (HE), allerdings ohne Berücksichtigung der Teilgruppe 1714, siehe Abb. 3.16. Das durchschnittliche Verhältnis HE/H beträgt 0,82. Bei den „neuen“ Mittelhöhlen in 1714 verhält sich diese Zahl mit 2,91 ganz anders. Möglicherweise haben das tiefer liegende durchschnittliche Eingangsniveau und eine entsprechend differenzierte Höhlenbildungsphase damit zu tun (vgl. HERRMANN & FISCHER 2013: 290ff, 305f).

Wie auch schon in der Forschungsperiode 2002 bis 2012 kam es trotz anspruchsvoller Touren sowohl ober- als auch unterirdisch zu keinen nennenswerten Unfällen oder Verletzungen. Dies spricht für die Erfahrung und Umsicht der Teilnehmer.

Forschungen im Gesäuse abseits des Projekts Speleo Alpin. Neben dem von den Autoren im Jahr 2002 initiierten Forschungsprojekt Speleo Alpin Gesäuse gibt es auch unabhängig davon im Gesäuse agierende Forscher und Forschergruppen. Die Detailergebnisse ihrer Forschungen finden sich unter anderem in der Höhlendatenbank Spelix oder im Kataster des Landesvereins für Höhlenkunde in der Steiermark.

Um ein möglichst umfassendes Bild der speleologischen Forschung in den Teilgruppen des Gesäuses geben zu können, soll in diesem Kapitel in komprimierter Form darauf eingegangen werden.

Teilgruppe 1644, Tamischbachturm. Hier wurde am 6.4.2018 ein kleines, talnahes Objekt im Ennstal nördlich von Hieflau von Ernst Straka jun. dokumentiert.

Teilgruppe 1711, Admonter Reichenstein. Wie bereits von HERRMANN & FISCHER 2013: 249, 331 zusammengefasst, wird im Gebiet des Kreuzkogels schon seit Jahrzehnten intensiv geforscht. Pionierarbeit leistete auch hier einmal mehr Ernst Straka sen., dessen Arbeit schon seit vielen Jahren von seinem Sohn Ernst Straka jun. fortgesetzt wird. Waren mit Stand 2012 in diesem Höhlenballungsgebiet 28 und inkl. näherer Umgebung 31 Objekte erforscht, sind es mit Ende 2020 bereits 37. Eine Forschungsgeschichte zur Kreuzkogel-Eishöhle (1711/16) sowie eine Auflistung der Höhlen im Gebiet des Kreuzkogels bis zur Katasternummer 1711/52 mit Lagekoordinaten und Basisdaten findet sich bei STRAKA 2019: 33–36. Ein weiteres Höhlengebiet liegt im Johnsbachtal, wo von E. Straka jun. auf kleinstem Raum im Breitschüttgraben 4 neue Kleinhöhlen dokumentiert wurden.

	Anzahl Höhlen ab 50 m	Durchschnittliche Ganglänge in m	Durchschnittlicher Höhenunterschied in m	Median Verhältnis Horizontalerestreckung zu Höhenunterschied
1643	5	82	38	0,79
1644	3	98	44	1,29
1711	7	243	51	1,67
1712	45	227	84	0,64
1713	18	459	83	1,39
1714	11	256	35	2,08

Abb. 3.16. Kennzahlen betreffend alle Höhlen ab 50 m Ganglänge in Teilgruppen des Gesäuses.

Teilgruppe 1714, Lugauer. In der 2003 entdeckten Waaggraben-Klufthöhle (1714/23), einer Wasserhöhle im äußersten Osten des Bearbeitungsgebietes, konnte 2008 die aktuelle Ganglänge von 244 m bei 22 m Höhenunterschied (+19 m, –3 m) dokumentiert werden. Veronika Dittes erkundete im September 2008 durch einen Tauchgang im Endsiphon weitere 49 m unter Wasser. Die in 730 m Seehöhe gelegene, nur bei Hochwasser aktive Quellschicht entwässert Richtung Nordosten zum Erzbach. An den Forschungen beteiligt waren H. Auer, V. Dittes, R. Fröhlich, L. Plan, G. Stanglauer, G. Stummer und D. Sulzbacher, siehe dazu DITTES & SULZBACHER 2008: 120–121; HERRMANN & FISCHER 2013: 331 (weitere Literatur siehe dort). Jahre später, am 18.2.2017 fand nach Vorbereitungstouren ein Tauchgang durch B. Pretterhofer unter Mitwirkung von R. Brandner, M. Riedler und Th. Rothleitner des Eisenerzer Höhlenvereins Fledermaus im Endsiphon statt. RIEDLER 2017: 2–3 berichtet, dass dabei schätzungsweise 50 m Ganglänge erkundet wurden: einem ca. 10 m langen Siphon folgt eine rund 30 m lange, relativ trockene Strecke bevor man abermals auf einen Siphon trifft, der aufgrund der schlechten Sicht nicht mehr zur Gänze durchtaucht wurde. Die im Vergleich zu 2008 abweichende Beschreibung der Höhlenteile hinter dem Endsiphon ist möglicherweise durch den niedrigeren winterlichen Wasserstand 2017 verursacht.

Liste der 2013–2020 in den Kataster aufgenommenen Höhlen⁵:

- * 1644/18 Wurzelhöhle (L 7 m, H –1 m), Ennstal nördlich Hieflau, Seehöhe 596 m.
- * 1711/52 Goastanzschacht (unerforscht), Kreuzkogel-Nordhang, Seehöhe 1713 m.
- * 1711/57 Gamskapelle (L 5 m, H +3 m), Kreuzkogel-Südfuß, Seehöhe 1462 m.
- * 1711/58 Turmloch (L 9 m, H +2 m), Breitschüttgraben, Seehöhe 769 m.
- * 1711/59 Breitschütt-Balkon (L 9 m, H +4 m), Breitschüttgraben, Seehöhe 781 m.
- * 1711/60 Felsnadeldurchstieg (L 10 m, H +5 m), Breitschüttgraben, Seehöhe 778 m.
- * 1711/61 Breitschütt-Tor (L 8 m, H +5 m), Breitschüttgraben, Seehöhe 795 m.
- * 1711/64 Kematentriss (L 7 m, H +1 m), Kematengraben, Seehöhe 985 m.
- * 1711/65 Bärenkopfnkluff (L 12 m, H –2 m), Schildmauer-Westkamm, Seehöhe 1164 m.
- * 1711/66 Versturzkamm (L 47 m, H 14 m), Schildmauer-Westkamm, Seehöhe 1074 m.
- * 1711/67 Steinergrabenhöhle (L 29 m, H +5 m), Hahnstein-Nordwesthänge, Seehöhe 1016 m.

Weitere Höhlenforschungen im Gesäuse ab dem Jahr 2013 wurden nicht bekannt.

⁵Quelle: www.spelix.at, abgefragt am 11.2.2021.